

Electronic Supplementary Information for

Monopropionate analogues of DOTA⁴⁻ and DTPA⁵⁻: kinetics of formation and dissociation of their lanthanide(III) complexes

Edina Balogh, Raphaël Tripier, Petra Fouskova, Felipe Reviriego, Henri Handel, Éva Tóth

Fig. S1. Titration curves of H₄DO3A-Nprop in the absence and in the presence of various metal ions at 25°C, 0.1 M KCl; c_{lig} = 0.003 M

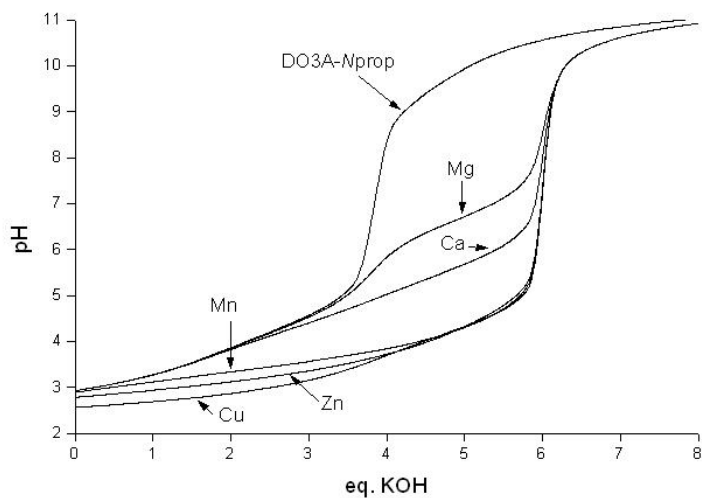


Table S1. Formation rate constants of (CeDO3A-Nprop)⁻ obtained from UV-Vis measurements at different pH, 0.1 M KCl, 25°C.

	4.26	4.6	4.92	5.21	5.01	5.45
[Ce ³⁺] (mM)	k (s ⁻¹)					
0.1	2.47 × 10 ⁻³	5.70 × 10 ⁻³	1.04 × 10 ⁻²	1.55 × 10 ⁻²	1.17 × 10 ⁻²	2.79 × 10 ⁻²
0.2	3.02 × 10 ⁻³	6.19 × 10 ⁻³	1.08 × 10 ⁻²	1.64 × 10 ⁻²	1.21 × 10 ⁻²	3.29 × 10 ⁻²
0.4	3.85 × 10 ⁻³	6.64 × 10 ⁻³	1.11 × 10 ⁻²	1.83 × 10 ⁻²	1.30 × 10 ⁻²	3.51 × 10 ⁻²
0.6	4.02 × 10 ⁻³	7.11 × 10 ⁻³	1.15 × 10 ⁻²	2.04 × 10 ⁻²	1.39 × 10 ⁻²	3.72 × 10 ⁻²
1	4.18 × 10 ⁻³	7.04 × 10 ⁻³	1.20 × 10 ⁻²	2.00 × 10 ⁻²	1.63 × 10 ⁻²	3.60 × 10 ⁻²
1.5	4.19 × 10 ⁻³	7.81 × 10 ⁻³	1.30 × 10 ⁻²	2.10 × 10 ⁻²	1.64 × 10 ⁻²	3.79 × 10 ⁻²
2	4.32 × 10 ⁻³	7.85 × 10 ⁻³	1.21 × 10 ⁻²	2.07 × 10 ⁻²	1.81 × 10 ⁻²	3.87 × 10 ⁻²

Table S2. Formation rate constants of $(\text{GdDO}_3\text{A}-N\text{prop})^-$ obtained from UV-Vis measurements at different pH, 0.1 M KCl, 25°C.

	3.92	4.17	4.09	4.26
[Gd³⁺] (mM)	k (s⁻¹)	k (s⁻¹)	k (s⁻¹)	k (s⁻¹)
0.6	1.49×10^{-3}	3.25×10^{-3}	2.88×10^{-3}	4.04×10^{-3}
1.0	2.06×10^{-3}	3.46×10^{-3}	3.12×10^{-3}	4.41×10^{-3}
2.0		4.03×10^{-3}	3.40×10^{-3}	4.54×10^{-3}
3.0	2.33×10^{-3}	4.03×10^{-3}	3.50×10^{-3}	4.99×10^{-3}
4.0	2.64×10^{-3}	3.95×10^{-3}	3.60×10^{-3}	4.86×10^{-3}
5.0	2.54×10^{-3}	3.85×10^{-3}	3.67×10^{-3}	4.92×10^{-3}
6.0	2.54×10^{-3}	3.85×10^{-3}	3.71×10^{-3}	4.92×10^{-3}

Table S3. Formation rate constants of $(\text{YbDO}_3\text{A}-N\text{prop})^-$ obtained from UV-Vis measurements at different pH, 0.1 M KCl, 25°C.

pH	4.27	4.35	4.17	3.91
[Yb³⁺] (mM)	k (s⁻¹)	k (s⁻¹)	k (s⁻¹)	k (s⁻¹)
0.6	6.27×10^{-3}	7.22×10^{-3}	5.26×10^{-3}	4.14×10^{-3}
1.0	6.61×10^{-3}	8.00×10^{-3}	5.53×10^{-3}	4.41×10^{-3}
2.0	7.18×10^{-3}	8.19×10^{-3}	5.95×10^{-3}	5.08×10^{-3}
3.0	7.53×10^{-3}	8.63×10^{-3}	6.25×10^{-3}	
4.0	7.60×10^{-3}	8.76×10^{-3}	6.23×10^{-3}	5.28×10^{-3}
5.0	7.69×10^{-3}	8.24×10^{-3}	6.51×10^{-3}	5.66×10^{-3}
6.0	7.65×10^{-3}	8.46×10^{-3}	6.48×10^{-3}	

Table S4. Dissociation rate constants of $(\text{GdDTTA-}N\text{prop})^{2-}$ in the presence of Eu^{3+} following the changes of ^1H -relaxivity at 200 MHz, at different pH, 0.1 M KCl, 25°C.

pH	4.92	5.01	5.24	5.19	5.43
[Eu ³⁺] (mM)	k (s ⁻¹)				
0.03	2.57×10^{-3}	2.17×10^{-3}	1.01×10^{-3}	1.62×10^{-3}	5.38×10^{-4}
0.02	3.49×10^{-3}	2.41×10^{-3}	9.64×10^{-4}	1.72×10^{-3}	7.16×10^{-4}
0.01	5.72×10^{-3}	2.92×10^{-3}	1.41×10^{-3}	2.50×10^{-3}	5.83×10^{-4}
0.005	1.00×10^{-2}	5.20×10^{-3}	1.94×10^{-3}	3.30×10^{-3}	8.50×10^{-4}

Table S5. Dissociation rate constants of $(\text{GdDTTA-}N\text{prop})^{2-}$ in the presence of Zn^{2+} following the changes of ^1H -relaxivity at 200 MHz, at different pH, 0.1 M KCl, 25°C.

pH	4.85	5.14	4.96	5.5
[Zn ²⁺] (mM)	k (s ⁻¹)			
0.03	5.88×10^{-3}	5.72×10^{-3}	6.41×10^{-3}	6.26×10^{-3}
0.02	5.25×10^{-3}	5.53×10^{-3}	5.12×10^{-3}	5.97×10^{-3}
0.01	3.73×10^{-3}	3.18×10^{-3}	3.46×10^{-3}	3.53×10^{-3}
0.005	2.60×10^{-3}	2.43×10^{-3}	2.10×10^{-3}	2.99×10^{-3}

Table S6. Observed dissociation rate constants of $(\text{CeDO3A-}N\text{prop})^{2-}$ as a function of proton concentration, determined from the changes in UV-Vis absorption.

$[\text{H}^+](\text{M})$	$k_d (\text{s}^{-1})$
0.1999	0.0742
0.1803	0.0664
0.1499	0.0647
0.1245	0.0471
0.1147	0.0429
0.1000	0.0416
0.0902	0.0364
0.0794	0.0320
0.0706	0.0287
0.0631	0.0262
0.0550	0.0267
0.0446	0.0225
0.0300	0.0182
0.0200	0.0143
0.0158	0.0121
0.0126	0.0097
0.0099	0.0082
0.0059	0.0047
0.0030	0.0018